

РЕШЕНИЕ УРАВНЕНИЯ ШРЕДИНГЕРА ДЛЯ ПОТЕНЦИАЛЬНОЙ ЯМЫ ПРЯМОУГОЛЬНОЙ ФОРМЫ

**Ахмедов Баходир Бахромович,
Хошимов Хусанбой Анваржон угли,
Зокиров Адхам Илхомжон угли**
Ферганский государственный университет,
преподаватели кафедры физики

АННОТАЦИЯ

Важной составляющей современной физики полупроводников является относительно новое, активно развивающееся направление – физика низкоразмерных систем. В этой статье мы изучаем одну из основных низкоразмерных систем – квантовые ямы.

Ключевые слова: Потенциальная яма, энергетическая зона, полупроводник.

ABSTRACT

An important component of modern semiconductor physics is a relatively new, actively developing direction - the physics of low-dimensional systems. This article studies one of the main low-dimensional systems - quantum wells.

Keywords: Potential well, energy zone, semiconductor

ВВЕДЕНИЕ

Наиболее простым примером структуры с квантовой ямой служит тонкая проводящая пленка (рис.1, а). Поскольку носители заряда (электроны в зоне проводимости) движутся внутри пленки, не покидая ее, естественно рассматривать область пространства, занятую пленкой, как потенциальную яму с высотой стенок, равной работе выхода электронов (порядка нескольких эВ). Толщина L_z такой ямы совпадает с толщиной пленки.

Другой пример - МДП-структура, представляющая собой систему слоев «металл-диэлектрик-полупроводник», где для электронов в поверхностной области полупроводника, граничащей с диэлектриком, образуется потенциальная яма, обусловленная изгибом дна зоны проводимости под действием приложенного извне электрического напряжения (рис.1, б). В этом случае потенциальный рельеф ямы легко изменять, управляя разностью потенциалов между металлическим и полупроводниковым электродами. Еще один пример (рис.1, в), по своему характеру близкий к первому, - двойной гетеропереход, в котором тонкий слой полупроводника с относительно малой

запрещенной зоной (узкозонный материал) с обеих сторон окружен толстыми слоями полупроводника с большей величиной запрещенной зоны (широкозонный материал). В рассматриваемом примере слой узкозонного материала является потенциальной ямой для электронов; высота ее энергетических барьеров определяется разрывом зон - разностью уровней дна зоны проводимости в граничащих друг с другом полупроводниках. Для дырок в узкозонном материале также существует потенциальная яма; ее рельеф обусловлен разрывами края валентной зоны. Изменяя количество слоев, их толщину и состав, можно с успехом управлять формой потенциального рельефа, концентрацией носителей заряда в квантовых ямах и другими физическими характеристиками гетероструктур.

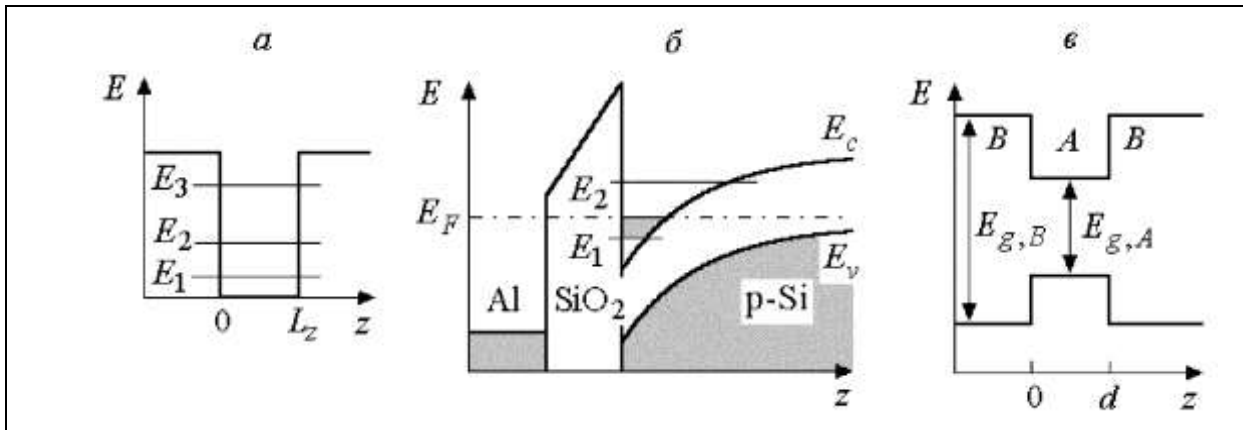


Рис.1. Примеры квантовых ям.

a - прямоугольная потенциальная яма с барьерами конечной высоты для электронов в тонкой проводящей пленке; схематично показаны уровни энергии E_n , обусловленные размерным квантованием в направлении, перпендикулярном плоскости пленки; *б* - энергетическая диаграмма МДП-структуры Al-SiO₂-p-Si с положительным потенциалом на металлическом электроде; области, занятые электронами, на этом рисунке выделены темным цветом; *в* - энергетическая диаграмма двойного гетероперехода, состоящего из материалов А и В. Материал В с большей запрещенной зоной $E_{g,B}$ является барьером для носителей заряда в материале А с меньшей запрещенной зоной $E_{g,A}$.

Обратимся к примерам количественного анализа энергетического спектра и волновых функций электронов в прямоугольных потенциальных моделях квантовых ям.

ОБСУЖДЕНИЕ

Если характерные значения энергии электронов в квантовой яме малы по сравнению с величиной энергетических барьеров, то для простоты можно считать барьеры бесконечно высокими. Вне ямы, в области бесконечных потенциальных барьеров, волновая функция электрона $f(r)$ должна быть равна нулю. Внутри ямы волновая функция, описывающая стационарное состояние с энергией E , удовлетворяет уравнению Шредингера

$$-\frac{\hbar^2}{2m}\nabla^2 f(\vec{r}) + U(\vec{r})f(\vec{r}) \quad (1)$$

с потенциалом $U(r)$, характеризующим рельеф края зоны проводимости в квантовой яме. Говоря более строго, здесь $f(r)$ - не вся волновая функция, а только огибающая блоховской волновой функции электрона в кристалле.[1-4]

В простейшей модели, с потенциальным рельефом прямоугольной формы, потенциал $U(r)$ внутри ямы равен постоянной величине E_c - это уровень края зоны проводимости в рассматриваемом полупроводниковом материале. Пусть, кроме того, образец полупроводника имеет вид прямоугольного параллелепипеда с ребрами длиной L_x, L_y, L_z . Тогда решение уравнения Шредингера (1) легко получить методом разделения переменных в декартовых координатах.

Действительно, будем искать волновую функцию стационарного состояния $f(r)$ в форме произведения трех неизвестных функций, каждая из которых зависит только от одной из координатных переменных x, y, z :

$$-\frac{\hbar^2}{2m}\frac{d^2\psi(z)}{dz^2} = E^{(z)}\psi(z), \quad (2)$$

Частные решения уравнения (2) можно выбрать в виде двух плоских волн с противоположными знаками импульса $\hbar k_z$. Тогда общее решение запишется в виде

$$\psi(z) = A \exp(ik_z z) + B \exp(-ik_z z), \quad (3)$$

где коэффициенты A, B и z -компонента волнового вектора k_z пока представляют собой произвольные постоянные. Функция (3) удовлетворяет уравнению (2), если справедливо равенство

$$E^{(z)} = \frac{\hbar^2 k_z^2}{2m}. \quad (4)$$

РЕЗУЛЬТАТЫ

Учтем теперь требование непрерывности решений уравнения Шредингера. Происхождение такого требования можно пояснить следующим образом. Если потенциал $U(\vec{r})$ в уравнении (1) конечен, то конечными будут также члены $U(\vec{r})f(\vec{r})$ и $Ef(\vec{r})$. Тогда уравнение (1) может быть верным равенством лишь с конечными вторыми производными волновой функции, входящими в $\nabla^2 f$, а для этого необходима непрерывность первых производных. В свою очередь, для существования непрерывных первых производных функции $f(\vec{r})$ требуется непрерывность самой $f(\vec{r})$ (поскольку производная функции стремится к бесконечности там, где функция испытывает скачок). Таким образом, если потенциал в уравнении Шредингера (1) конечен, то волновая функция и ее первые производные должны быть непрерывными. Но если высота стенок потенциальной ямы стремится к бесконечности,

требование конечности $\nabla^2 f$ на стенках ямы снимается. В этом случае первые производные волновой функции будут на стенках ямы испытывать скачок, и сохраняется только свойство непрерывности самой волновой функции (2).

Вне квантовой ямы $f=0$, поэтому на стенках ямы (при $z=0$ и $z=L_z$) волновая функция $\psi(z)$ непрерывно обращается в нуль:

$$\psi(0)=0, \quad \psi(L_z)=0 \quad (5)$$

Первое из граничных условий (5) ведет к тому, что в выражении (3) $B=-A$, так что волновую функцию (3) можно представить в виде

$$\psi(z) = C \sin(k_z z), \quad (6)$$

где $C \neq 0$ - произвольный нормировочный множитель. Тогда второе из двух условий (5) приводит к уравнению для z -компоненты волнового вектора,

$$\sin(k_z L_z) = 0 \quad (7)$$

и тем самым к ее квантованию:

$$k_z = \frac{\pi}{L_z} n_z, \quad n_z = 1, 2, 3, \dots, \quad (8)$$

ЗАКЛЮЧЕНИЕ

В формуле (8) учитываются только те значения квантового числа n_z , которым отвечает набор линейно независимых функций (6) (значения 0, -1, -2, ...

отброшены). Подстановка (8) в (4) дает выражение для уровней энергии, соответствующих движению электрона вдоль оси z :

$$E_{n_z}^{(z)} = \frac{\pi^2 \hbar^2}{2mL_z^2} n_z^2, \quad n_z = 1, 2, 3, \dots \quad (9)$$

Здесь и далее мы будем считать, что ось z выбрана в направлении, поперечном к плоскости квантовой ямы, так что именно в этом направлении реализуется размерное квантование энергии, характеризующееся неравенством (1.2).

REFERENCES

1. Rasulov, R. Y., Akhmedov, B. B., Muminov, I. A., & Umarov, B. B. (2021). Crystals with tetrahedral and hexagonal lattices. Fergana. Classic.-2021.
2. Ахмедов, Б. Б. (2020). МЕТОД КР-ВОЗМУЩЕНИЙ С УЧЕТОМ ВЫРОЖДЕНИЯ. In Наука и современное общество: актуальные вопросы, достижения и инновации (pp. 21-25).
3. Ахмедов, Б. Б. (2020). УРАВНЕНИЕ ШРЕДИНГЕРА ДЛЯ ВОЛНОВЫХ ФУНКЦИЙ БЛОХА. In Научный форум: технические и физико-математические науки (pp. 20-25).
4. Ахмедов, Б., Муминов, И., & Хомиджонов, Д. (2021). УРАВНЕНИЯ ШРЕДИНГЕРА ДЛЯ ДВУМЕРНОГО ВОЛНОВОГО ВЕКТОРА. InterConf.
5. Muminov, I. A., Akhmedov, B. B., & Sobirov, U. B. N. O. G. L. (2022). TURLI SIMMETRIYAGA EGA BO'LGAN QATTIQ JISMLAR KRISTALL PANJARASI. *Oriental renaissance: Innovative, educational, natural and social sciences*, 2(4), 541-546.
6. Muminov, I. A., Akhmedov, B. B., & Maxmudov, A. A. O. G. L. (2022). YARIMO'TKAZGICH ASOSIDAGI TURLI STRUKTURALI NANOTRUBKALAR. *Oriental renaissance: Innovative, educational, natural and social sciences*, 2(4), 517-523.
7. Mamadaliyev, B., Rasulov, R. Y., Eshboltayev, I., Ahmedov, B. B., & Abdullayev, M. (2014). About distribution of a potential barrier on borders of grains of the polycrystalline semiconductor. *Europaische Fachhochschule*, (9), 73-76.
8. Akhmedov, B. B., Rozikov, J. Y., & Muminov, I. A. MATERIAL'S ELECTRONIC STRUCTURE. *Zbiór artykułów naukowych recenzowanych.*, 78.
9. Akhmedov, B., Rozikov, J., Muminov, I., & Ruziboev, V. (2018). ABOUT WAVEFUNCTIONS IN LOW-DIMENSIONAL SEMICONDUCTORS. *Central Asian Problems of Modern Science and Education*, 3(4), 51-57.

10. Расулов, Р. Я., Ахмедов, Б., & Мамадалиева, Н. (2018). Исследование размерного квантования в полупроводнике со сложной зоной методом теории возмущения. технологическое развитие науки: тенденции, проблемы и перспективы, 38-41.
11. Rozikov, J., Akhmedov, B., Muminov, I., & Ruziboev, V. (2019). DIMENSIONALLY QUANTIZED SEMICONDUCTOR STRUCTURES. Scientific Bulletin of Namangan State University, 1(6), 58-63.
12. Ахмедов, Б. Б., & Муминов, И. А. (2020). НЕПАРАБОЛИЧНОСТЬ ЭНЕРГЕТИЧЕСКИХ ЗОН. In WORLD SCIENCE: PROBLEMS AND INNOVATIONS (pp. 28-30).
13. РАСУЛОВ, В., РАЗИКОВ, Ж., КАРИМОВА, Г., АБДУБАНАНОВ, А., & ЭШБОЛТАЕВ, И. (2017). Расчет коэффициента прохождения электронов через многослойной полупроводниковой структуры, состоящей из прямоугольных потенциальных ям и барьеров. Современные научные исследования и разработки, (2), 183-185.
14. Sultanov, N. A., Rakhimov, E. T., Mirzajonov, Z., & Yusupov, F. T. (2021). Photoluminescence spectra of silicon doped with cadmium. Scientific-technical journal, 4(3), 22-26.
15. Nasirov, M. X., Axmadjonov, M. F., Nurmatov, O. R., & Abdullayev, S. (2021). О 'LCHAMLI KVANTLASHGAN STRUKTURALARDA KVAZIZARRALAR. *Oriental renaissance: Innovative, educational, natural and social sciences*, 1(11), 166-174.
16. Rasulov, V. R., Akhmedov, B. B., & Muminov, I. A. (2021). Interband one-and two-photon absorption of polarized light in narrow-gap crystals. Scientific-technical journal, 4(1), UDC-621.
17. Rasulov, R., Rasulov, V., & Eshboltaev, I. (2016). On the Theory of the Shift Linear Photovoltaic Effect in Semiconductors of Tetrahedral Symmetry Under Two-Photon Absorption. Russian Physics Journal, 59(1).
18. Rustamovich, R. V., Yavkachovich, R. R., Eshboltaev, I. M., Ahmedov, B., & Mamadaliyeva, N. Z. (2018). Investigation of dimensional quantization in a semiconductor with a complex zone by the perturbation theory method. European science review, (9-10-1), 253-255.